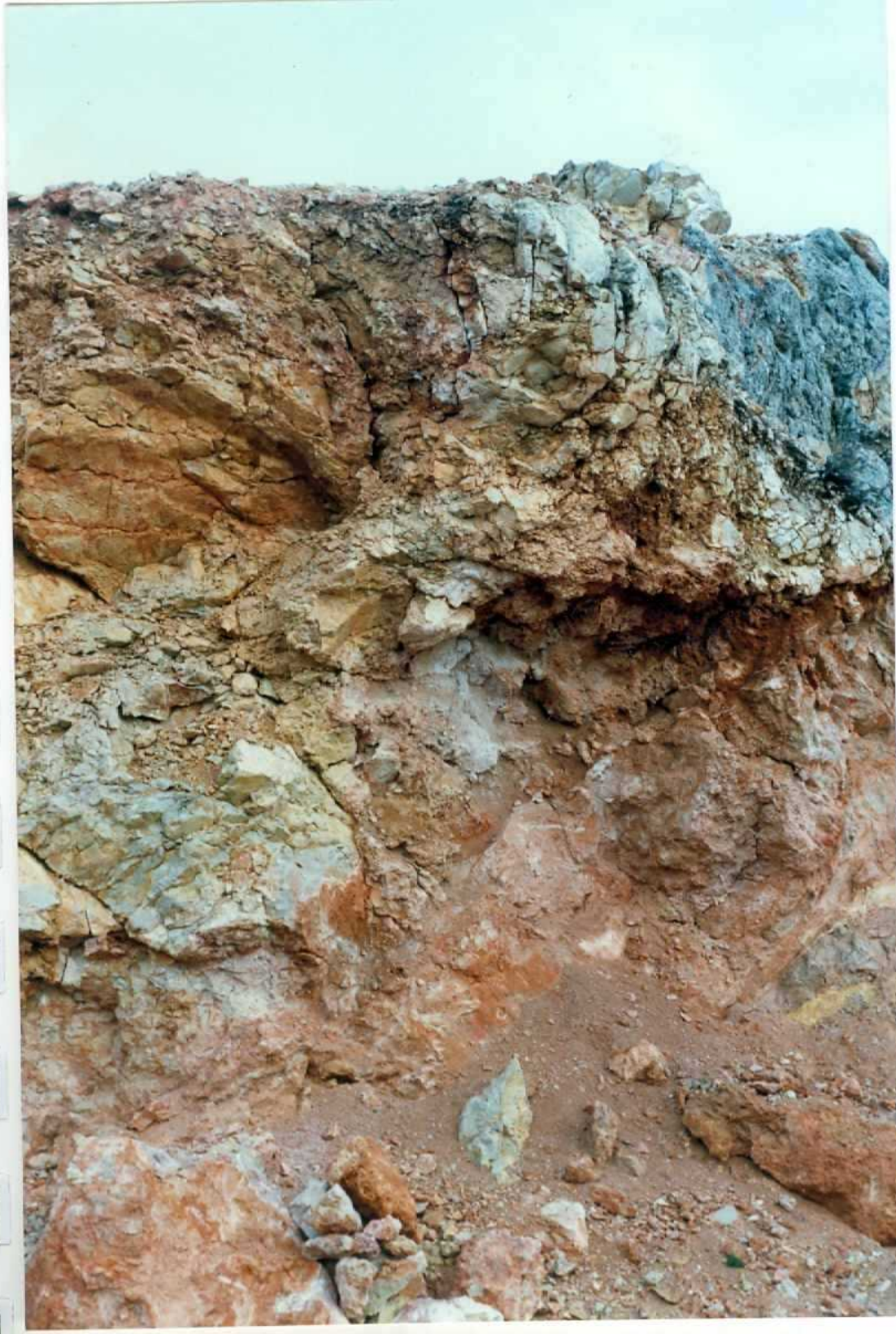


22-24 - AD-AG- 9035 F.-

Frente de cabalgamiento en la vertiente occidental de la Sierra de Altomira. Carretera de Vellisca a Saceda Trasierra.



22-24-AD-AG- 9036 F.-

Dolomías y calizas dolomíticas brechificadas en el frente de cabalgamiento en la carretera de Vellisca a Saceda-Trasierra



22-24-AD-AG- 9037 F.-

Estructura anticlinal en depósitos carbonatados del Cretácico superior. Zona central de la Sierra de Altomira -entre Vellisca y Saceda-Trassierra.



22-24-AD-AG- 9038 F.-

Dolomías y margas dolomíticas de la Formación Alatoz -Cretácico Superior- (Cenomaniense).



22-24-AD-AG- 9039 F.-

Formación Arcillas, margas y yesos de Villalba de la Sierra (Cretácico superior-Paleógeno). Serie invertida por efecto de cabalgamiento. (Trasvase Tajo-Segura).



22-24-AD-AG-9040 F.-

Dolomías y calizas dolomíticas mesozóicas de la Sierra de Altomira. Cantera al NO de Alcázar del Rey, junto al FF.CC. de Cuenca.



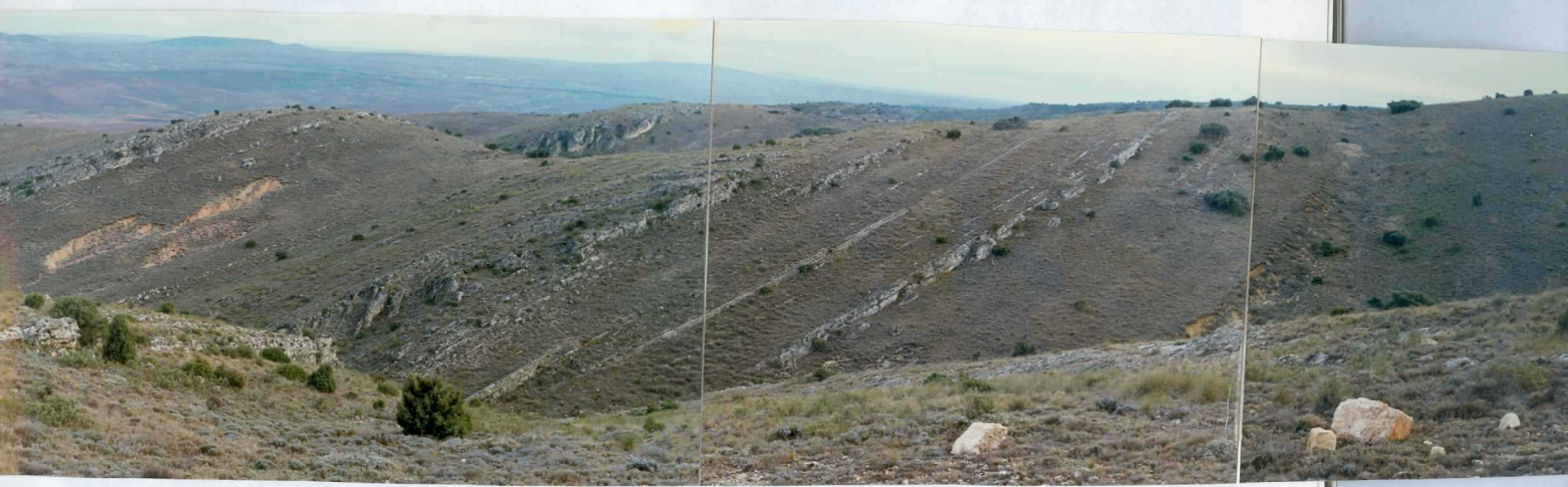
22-24-AD-AG- 9041 F.-

"Unidad Detrítica Superior" al Oeste de Huete. Al fondo, canales de areniscas pertenecientes a la subunidad inferior.



22-24-AD-AG- 9042 F.-

Serie detrítica de Caracenilla. "Unidad Detrítica Superior".



22-24-AD-AG- 9043 F.-

Vista panorámica de los "Chevrons" del Cretácico superior en la vertiente oriental de la Sierra de Altomira, junto a la localidad de Vellisca.



22-24-AD-AG- 9044 F.-

Detalle de las calizas del Aragoniense-Vallesiense en las proximidades de Caracenilla.



22-24-AD-AG- 9045 F.-

"Debris flow" de la unidad 17, en las proximidades de Saceda--Trasierra.



22-24-AD-AG- 9046 F.-

Gigantesco deslizamiento al Sur de la localidad de Caracenilla.



22-24-AD-AG- 9047 F.-

Trasvase Tajo-Segura. Acueducto de Paredes.